

บทที่ 2

ทฤษฎีและงานวิจัยที่เกี่ยวข้อง

ในบทนี้จะกล่าวถึงสมบัติโดยอิเล็กทริก ค่าความแข็งแบบวิกเกอร์ของเซรามิกแลดเชอร์ โคลเนตไททาเนต (PZT) และงานวิจัยที่เกี่ยวข้องกับ PZT ดังรายละเอียดต่อไปนี้

2.1 สมบัติโดยอิเล็กทริก

สมบัติโดยอิเล็กทริก คือสมบัติการเป็นอนวนไฟฟ้าในวัสดุที่เมื่อวัสดุนี้อยู่ในสภาพปกติ จะประกอบไปด้วยโมเลกุลที่มีจุดศูนย์กลางมวลร่วมกันระหว่าง proton และอิเล็กตรอนที่อยู่ภายในได้แรงยึดของโมเลกุล และแรงยึดของอะตอมภายในเนื้อสารซึ่งไม่มีประจุไฟฟ้าอิสระ แต่เมื่อสารได้รับกระแสไฟฟ้าจะทำให้โมเลกุลเกิดแรงทางไฟฟ้า ทำให้กลุ่มประจุบวกถูกผลักไปในทิศของสนาม ส่วนกลุ่มประจุลบถูกผลักไปในทิศทางตรงกันข้าม ทำให้โมเลกุลของสารเกิดได้พลวมเมนต์ขึ้นมา

สารโดยอิเล็กทริกถูกค้นพบในช่วงปี ค.ศ. 1921 โดยวัสดุตัวแรกที่ค้นพบ คือแบเรียมไท ทาเนต (BT) นิยมนำมาใช้ในการเก็บประจุไฟฟ้า เนื่องจากมีค่าสภาพย้อมสัมพัทธ์สูง จากนั้นก็ได้ค้นพบสารโดยอิเล็กทริกใหม่ๆ เช่น เลดเชอร์โคลเนตไททาเนต (PZT) แมgnีเซียมไนโตรเจต (PMN) เลดแลนทานัมเซอร์โคลเนตไททาเนต (PLZT) เป็นต้น ซึ่งสารเหล่านี้มีสภาพย้อมสัมพัทธ์ที่สูง เช่นกัน สารโดยอิเล็กทริกมีสมบัติที่น่าสนใจ คือสามารถเก็บประจุไฟฟ้าได้โดยความสามารถในการเก็บประจุของสารโดยอิเล็กทริกนั้นจะเปรียบเทียบกับการเก็บประจุไฟฟ้าของสัญญาการว่าสามารถเก็บประจุได้เพิ่มขึ้นกี่เท่า ดังสมการ (2.1)

$$C = \epsilon_0 \epsilon_r = \frac{A}{d} \quad (2.1)$$

เมื่อ C คือ ค่าความสามารถในการกักเก็บประจุของสาร (F)

ϵ_0 คือ ค่าสภาพย้อมของสัญญาการ มีค่าเท่ากับ 8.854×10^{-12} (F/m)

ϵ_r คือ ค่าสภาพย้อมสัมพัทธ์ของสารโดยอิเล็กทริก

A คือ พื้นที่ผิวของข้าวไฟฟ้าบนผิวของสารโดยอิเล็กทริก (m^2)

d คือ ระยะห่างระหว่างข้าวไฟฟ้า (m)

โดยค่า ϵ_r จะเป็นตัวบ่งบอกถึงประสิทธิภาพและความสามารถในการเก็บประจุไฟฟ้าของสารไดอิเล็กทริกนั้นๆ ว่ามีค่าเป็นกี่เท่าของสูญญากาศ ดังตาราง 2.1 และสมการ (2.1) จะเห็นว่าความสามารถในการเก็บประจุจะแปรผันตรงกับค่าสภาพย้อมสัมพัทธ์และรูปทรงของตัวเก็บประจุ การเก็บประจุไฟฟ้าที่สมบูรณ์ที่สุดจะต้องไม่นำไฟฟ้าเลยถ้าหากได้รับกระแสไฟฟ้าตรง นั่นคือ จะต้องไม่มีสภาพนำไฟฟ้าอยู่เลย หรือมีความต้านทานสูงเป็นอนันต์ ทำให้มีกระแสไฟฟ้าไหลผ่านในบริเวณน้อยๆ ที่เรียกว่า กระแสร่วง เกิดขึ้น

ตาราง 2.1 ค่าสภาพย้อมสัมพัทธ์และค่าการสูญเสียเนื่องจากความร้อนทางไดอิเล็กทริกของเซรามิกเฟรโรอิเล็กทริกบางชนิด [9]

ชนิดของเซรามิก	ค่าสภาพย้อมสัมพัทธ์ (ϵ_r)	ค่าการสูญเสียเนื่องจากความร้อนทางไดอิเล็กทริก ($\tan \delta$)
BaTiO_3	1,700	1.0
$\text{Pb}(\text{Zr}_{0.53}\text{Ti}_{0.47})\text{O}_3$	544	0.5
$\text{Pb}(\text{Zr}_{0.52}\text{Ti}_{0.48})\text{O}_3$	1,060	—
$\text{Pb}(\text{Mg}_{1/3}\text{Nb}_{2/3})\text{O}_3$	20,000	0.1
$\text{Pb}(\text{Mg}_{1/3}\text{Nb}_{2/3})\text{O}_3-\text{PbTiO}_3-\text{PbZrO}_3$	550–9,000	0.2–2.5

2.2 สมบัติทางกลของเซรามิก

โดยทั่วไปสมบัติของเซรามิกจะเป็น แรงดึง (tensile strength) แตกต่างกันมาก นั่นคือมีค่าตั้งแต่ต่ำกว่า 100 psi (0.69 MPa) จนถึงค่าสูงประมาณ 106 psi (7×10^3 MPa) เช่นอะลูมิเนียมออกไซด์ที่ถูกเตรียมในสภาวะห้องควบคุมอย่างระมัดระวัง นอกจากนี้ วัสดุเซรามิกยังมีค่าความต้านทานแรงดึง (compressive strength) แตกต่างกับค่าความต้านทานแรงดึงอย่างมาก คือมีค่าสูงกว่าความต้านทานแรงดึงประมาณ 5–10 เท่า ดังแสดงในตาราง 2.2 และเนื่องจากพันธะระหว่างอะตอมหรือไอออนภายในโครงสร้างของเซรามิกเป็นพันธะแบบไอโอนิก–โคเวเลนต์ ดังนั้นวัสดุเซรามิกหล่ายอนนิคแมกจะแข็งและมีค่าความต้านทานต่อการขยายตัวของรอยแตก (fracture toughness) ที่ต่ำ อายุคงทนตามที่มีวัสดุเซรามิกบางชนิดที่มีความอ่อนง่ายต่อการเปลี่ยนแปลงรูปร่าง เช่นพลาสติกเดลย์ เนื่องจากพันธะระหว่างชั้นเป็นพันธะแบบอ่อน

ตาราง 2.2 สมบัติเชิงกลของเซรามิกบางชนิด [10]

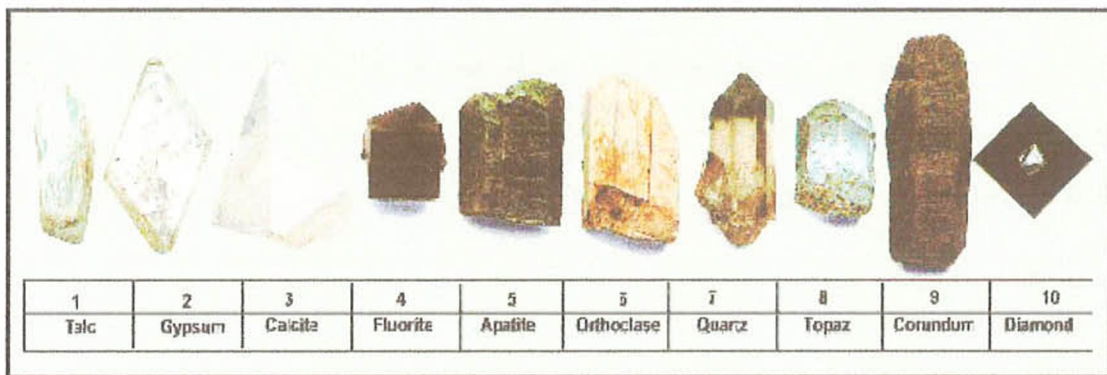
Ceramics	Density (g/cm ³)	Compressive Strength (MPa)	Tensile Strength (MPa)	Flexural Strength (MPa)	Fracture Strength (MPa)
Al ₂ O ₃ (99%)	3.85	2585	207	345	4
Si ₃ N ₄ (hot-pressed)	3.19	3450	–	690	6.6
Si ₃ N ₄ (reaction- bonded)	2.80	770	–	255	3.6
SiC (sintered)	3.10	3860	170	550	4
ZrO ₂ -9%MgO (partially stabilized)	5.50	1860	–	690	8+

ความแข็ง (Hardness)

ความแข็ง คือความสามารถในการต้านทานการหักломของวัสดุจากการกระทำข่องวัสดุที่แข็งกว่า [11] จุดมุ่งหมายของการทดสอบความแข็งเพื่อกำหนดความเหมาะสมของวัสดุสำหรับกำหนดรูปแบบ และเพื่อตรวจสอบสมบัติพิเศษภายในวัสดุ ซึ่งค่าความแข็งของวัสดุเป็นตัวที่สามารถบ่งบอกถึงความสามารถในการต้านทานต่อการขีดข่วนที่บริเวณผิวของวัสดุด้วย โดยปกติแล้วเซรามิกจะอยู่ในวัสดุประเภทที่มีความแข็งสูงมาก หรือเซรามิกเป็นวัสดุที่สามารถทนต่อการขีดข่วนได้ดี โดยวิธีการวัดความแข็งนั้นสามารถแบ่งออกเป็น 2 รูปแบบ ตามลักษณะการวัดดังนี้

1. ค่าความแข็งเชิงเบรียบเทียบ

เป็นวิธีการบ่งบอกถึงความสามารถแข็งแรงของวัสดุโดยอาศัยการเบรียบเทียบกับค่าความแข็งของวัสดุมารฐานซึ่งสามารถแบ่งออกได้เป็น 10 ระดับในสเกลของ Mohs (รูป 2.1) โดยวัสดุมาตรฐานที่ความแข็งในระดับต่ำสุดคือ ทาร์ค (talc) ซึ่งมีค่าความแข็งเป็นอันดับ 1 และวัสดุที่มีความแข็งมากสุดคือ เพชร ซึ่งมีค่าความแข็งเป็นอันดับ 10 จากนั้นนำวัสดุที่ต้องการทราบค่าความแข็งมาขีดกับวัสดุมารฐาน แล้วทำการเบรียบเทียบดูว่าอยู่ในระดับใด ซึ่งค่าที่ได้จะเป็นค่าที่เบรียบเทียบคร่าวๆ เท่านั้น จึงไม่มีความแม่นยำและไม่มีหน่วย



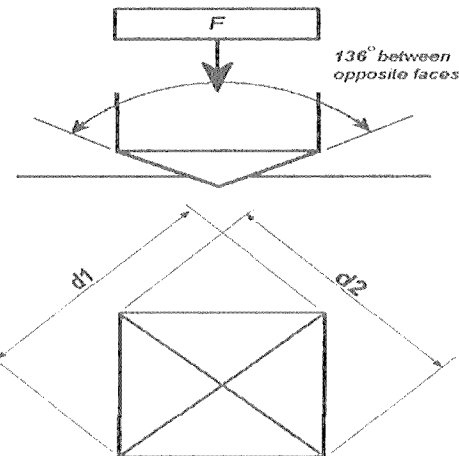
รูป 2.1 ลำดับความแข็งของวัสดุตามสเกล Mohs [11]

2. ค่าความแข็งที่ได้จากการกดด้วยวัสดุที่แข็งกว่า

เป็นวิธีที่นิยมในการหาค่าความแข็งของวัสดุมากที่สุดเนื่องจากให้ค่าตัวเลขที่แน่นอน โดยอาศัยหลักการกดวัสดุที่มีปลายหัวกดขนาดเล็กลงไปบนผิวน้ำด้วยแรงขณะหนึ่งที่ทราบค่าสามารถแบ่งออกเป็น 2 กลุ่ม คือ การทดสอบระดับมาโคร (macrohardness testing) จะทดสอบตัวยน้ำหนักกดมากกว่า 1,000 กรัม ตัวอย่างคือ บริเนลล์และโรคเวลล์ (Brinell and Rockwell indentation) และการทดสอบระดับจุลภาค (microhardness testing) จะทดสอบตัวยน้ำหนักกดน้อยกว่า 1,000 กรัม ตัวอย่างคือ วิกเกอร์และนูป (Vickers and Knoop indentation) จากนั้นจึงทำการตรวจสอบลักษณะของรอยกดที่เกิดบนผิวของชิ้นงานซึ่งค่าความแข็งที่ได้จะเป็นการคำนวณจากแรงที่ใช้เปรียบเทียบกับพื้นที่ของรอยกดที่เกิดขึ้น และอาจจะพิจารณาโดยเปรียบเทียบจากลักษณะของรอยกดได้ว่า ถ้าหากรอยกดมีขนาดใหญ่ลึกกว่าแสดงว่าชิ้นงานนั้นมีความแข็งต่ำกว่า สำหรับลักษณะของหัวกดนั้นมีอยู่หลายแบบด้วยกันแต่แบบที่นิยมใช้ในการตรวจสอบความแข็งของเชรามิก ก็คือ

แบบวิกเกอร์ (Vickers indentation)

การทดสอบแบบวิกเกอร์จะใช้หัวกดที่ทำมาจากเพชร ที่ฐานเป็นรูปสี่เหลี่ยมจัตุรัส มีมุมระหว่างกัน 136° ความลึกของรอยกดมีค่าประมาณ $1/7$ เท่าของความยาวของเส้นทแยงมุม และต้องทำการวัดเส้นทแยงมุมทั้ง 2 ด้านแล้วนำมาหารค่าเฉลี่ย (รูป 2.2) ค่าที่ได้จะอยู่ในรูป Vickers hardness number ซึ่งก็คือ อัตราส่วนของน้ำหนักที่ใช้ในการกดกับพื้นผิวที่เกิดรอยดังสมการ (2.2) [12]



รูป 2.2 ลักษณะหัวกดและร้อยกตแบบวิกเกอร์ [13]

$$H_V = (1.854) \frac{F}{d^2} \quad (2.2)$$

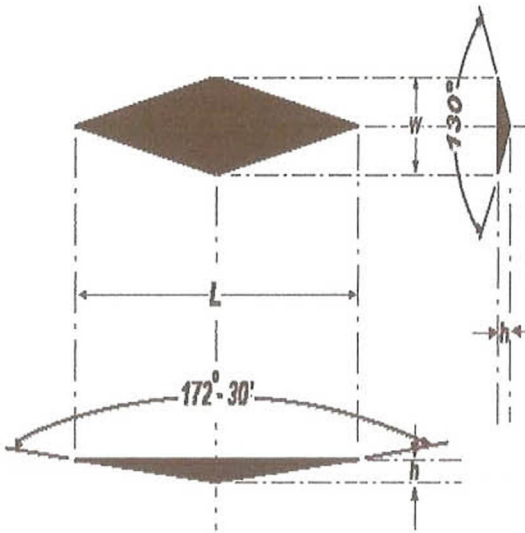
เมื่อ H_V คือ ค่าความแข็งในหน่วยของวิกเกอร์ (kg/mm^2)

F คือ น้ำหนักที่ใช้แก่หัวกด (kg)

d คือ ค่าความกว้างเฉลี่ยของเส้นทแยงมุมของร้อยกต (μm)

แบบญูป (Knoop indentation)

การทดสอบแบบญูปจะใช้หัวกดที่ทำมาจากเพชรที่มีฐานเป็นรูปปริมาดฐานสี่เหลี่ยมขนมเปียกปูน ที่มีความกว้างของด้านหนึ่งมากกว่าอีกด้านหนึ่ง 7 เท่า มีมุมทางขวา 170° $30'$ และ มุมตรงข้าม 130° รูปแบบของร้อยกตเป็นสี่เหลี่ยมขนมเปียกปูนที่มีด้านขนาดกัน 2 ด้าน แต่จะทำการวัดเฉพาะด้านแกนยาวเท่านั้น สำหรับความลึกของร้อยกตจะมีค่าอยู่ในช่วงประมาณ 1:30 ของเส้นทแยงมุมด้านที่ยาว (รูป 2.3) ผลการทดลองจะอยู่ในรูปของ Knoop hardness number ซึ่งก็คือ อัตราส่วนน้ำหนักกดกับพื้นที่ที่ถูกกดลงไป ดังสมการ (2.3)



รูป 2.3 ลักษณะหัวกดและรอยกดแบบนูป [14]

$$H_K = (14.23) \frac{F}{d^2} \quad (2.3)$$

เมื่อ H_K คือ ค่าความแข็งในหน่วยของนูป (kg/mm^2)

F คือ น้ำหนักที่ใช้แก่หัวกด (kg)

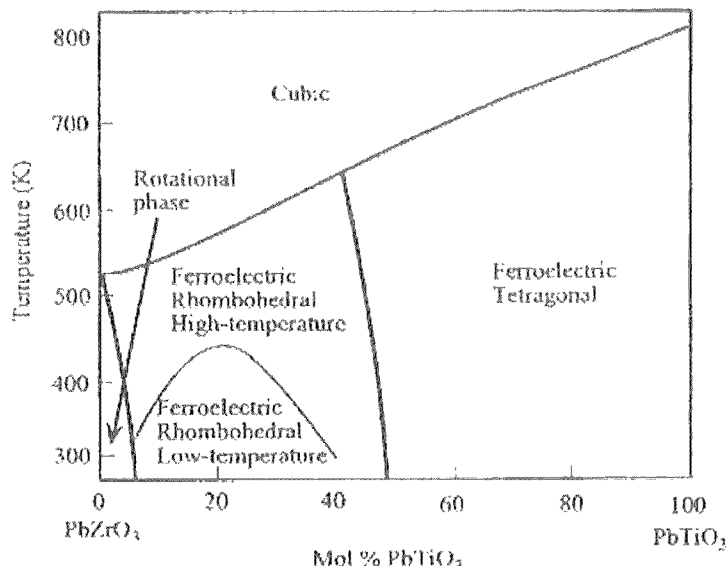
d คือ ค่าความยาวของเส้นทแยงมุมด้านยาวของรอยกด (μm)

2.3 เลดเชอร์โคเนตไททาเนต (Lead zirconate titanate)

เลดเชอร์โคเนตไททาเนต เป็นสารพิชอิเล็กทริกที่มีการนิยมนำมาใช้อย่างแพร่หลายในวงการอุตสาหกรรม เนื่องจากแสดงสมบัติพิชอิเล็กทริกได้ดี [1] มีค่าสัมประสิทธิ์คู่ควบไฟฟ้า เชิงกลสูง มีอุณหภูมิคูรีที่สูงส่งผลให้สามารถใช้งานได้ที่อุณหภูมิสูงสุดได้ดี ที่สำคัญสามารถเตรียมได้ง่ายและหลากหลายของค์ประกอบ อุณหภูมิที่ใช้ก็ไม่สูงมากนัก จึงทำให้เซรามิกเลดเชอร์โคเนตไททาเนตเป็นที่นิยม

เซรามิกเลดเชอร์โคเนตไททาเนต (PZT) มีอุณหภูมิคูรีอยู่ที่ประมาณ 390°C [15] ซึ่ง อุณหภูมิคูรีนี้ จะเปลี่ยนแปลงเมื่อองค์ประกอบของสารเปลี่ยนแปลงไปโดย ณ ที่อุณหภูมิสูงกว่า อุณหภูมิคูรี เลดเชอร์โคเนตไททาเนตจะมีโครงสร้างพลีกเป็นแบบเพอร์อโพลิก้าร์ ที่มีหน่วยเซลล์แบบคิวบิกซึ่งส่งผลให้แสดงสมบัติเป็นพาราซิลีกทริก เมื่อทำการลดอุณหภูมิให้ต่ำลงกว่า อุณหภูมิคูรี ลักษณะของหน่วยเซลล์จะเปลี่ยนแปลงไปเป็นแบบเตต拉โนนอล (tetragonal) หรือ รhombohedral ซึ่งผลให้สมบัติของเซรามิกเป็นเฟริโอซิลีกทริก โดยในการนีของ

เฟสเดตระgonอลนั้นจะเกิดกระบวนการการโพลาไรเซชันขึ้นได้เองในทิศทาง (100) ส่วนในกรณีของเฟสromบ์บิสิตรอล กระบวนการการโพลาไรเซชันจะเกิดขึ้นเองในทิศทาง (111) และยังพบอีกว่า สมบัติทางด้านไฟฟ้าของเลดเชอร์โคเนตให้หายไปในอุณหภูมิที่ $52:48$ หรือ $53:47$ ซึ่งอยู่ ณ บริเวณที่เรียกว่า รอยต่อเฟสที่มีสัณฐานเหมือนกัน (Morphotropic Phase Boundary : MPB) [16] ดังเฟสไดอะแกรมในรูป 2.4



รูป 2.4 เฟสไดอะแกรมของสารในระบบ PZT [17]

2.4 เชอร์โคเนียมออกไซด์ (ZrO_2)

เชอร์โคเนียมออกไซด์ มีลักษณะเป็นผงสีขาว หนัก ไม่มีกลิ่น มีจุดหลอมเหลวสูงประมาณ $2685\text{--}2745\text{ }^\circ\text{C}$ มีจุดเดือดประมาณ $4300\text{ }^\circ\text{C}$ มีน้ำหนักโมเลกุลเท่ากับ 123.22 ค่าความแข็งอยู่ในช่วง $6.5\text{--}7$ ตามสเกลของ Mohs [18] โดยสร้างผลึกของเชอร์โคเนียมออกไซด์มีอยู่ 3 แบบซึ่งขึ้นอยู่กับอุณหภูมินั้นคือ ดิวบิก (cubic) เตตระgonอล (tetragonal) และโมโนคลินิก (monoclinic) ซึ่งที่อุณหภูมิสูงตั้งแต่ $2370\text{ }^\circ\text{C}$ ขึ้นไป โดยสร้างผลึกเป็นดิวบิก อุณหภูมิปานกลาง ในช่วง $1170\text{--}2370\text{ }^\circ\text{C}$ มีโครงสร้างผลึกเป็นเตตระgonอล และอุณหภูมิต่ำกว่า $1170\text{ }^\circ\text{C}$ มีโครงสร้างเป็นโมโนคลินิก การเปลี่ยนโครงสร้างจากเตตระgonอลเป็นโมโนคลินิก เป็นสาเหตุทำให้เกิดการแตกหักของวัสดุได้ พฤติกรรมนี้ทำให้สมบัติเชิงกลของเชอร์โคเนียมออกไซด์ไม่สามารถนำไปใช้ในทางอุตสาหกรรมได้ จึงได้ทำการเติมสารประกอบออกไซด์ลงมาในเชอร์โคเนียมออกไซด์ เช่น อิตาเรียมออกไซด์ (Y_2O_3) เติมลงในเชอร์โคเนียมออกไซด์จำนวนเล็กน้อย จะทำให้โครงสร้างของเชอร์โคเนียมออกไซด์ที่แพ้แล้ว คงรูปเป็นผลึกรูปเตตระgonอล แม้จะเย็นตัวลงถึงอุณหภูมิห้องแล้ว ซึ่งเรียกว่าเตตระgonอลเชอร์โคเนียมโพลิคริสตัล (tetragonal

zirconia polycrystal) หรือ TZP ซึ่งเซอร์โคเนียมออกไซด์ชนิด TZP นี้มีความหนึบแน่นมาก ไม่แตกหักง่าย แม้จะทำหลุนพื้นกัดตาม สมบัติของเซอร์โคเนียมออกไซด์ ต่อ เป็นวัสดุทันไฟเหมาะสมสำหรับการใช้งานที่อุณหภูมิสูง สามารถนำไฟฟ้าได้ มีความหนาแน่นสูง เหนียวทนต่อการแตกหักและมีความแข็งสูง เป็นต้น เซอร์โคเนียมออกไซด์ถูกนำมาใช้อย่างกว้างขวางทางด้านงานวิจัยและอุตสาหกรรม เช่นใช้เป็นผังสำหรับชั้ด ใช้เป็นเยื่อหุ้มเซลล์เชื้อเพลิง เป็นสูญบล็อกความหนาแน่นสูงและสูญบดย่อยพลอยเพราะมีความแข็งสูง เป็นต้น [19]

2.5 แมกนีเซียมออกไซด์ (MgO)

แมกนีเซียมออกไซด์ คือแร่ที่เป็นของแข็งลีชา มีอุ่นความร้อนชาติ มีสูตรเคมีวิตรัลเป็น MgO มีจุดหลอมเหลวเท่ากับ $2800^{\circ}C$ และอุตเดือดเท่ากับ $3600^{\circ}C$ โครงสร้างผลึกเป็นแบบดิวาบิกซึ่งมีโครงสร้างเหมือนกับโซเดียมคลอไรด์ ($NaCl$) มีน้ำหนักโมเลกุลเท่ากับ 40.32 และมีค่าความแข็งแบบนูปเท่ากับ 6.79 GPa [20]

ประโยชน์ของแมกนีเซียมออกไซด์ [21] ได้แก่ ใช้เป็นอนวนในอุตสาหกรรมสายเคเบิล ใช้เป็นตัวพื้นในวัสดุทันความร้อน เป็นองค์ประกอบของพลัตฟ์และหัวไม้ชิ้ดไฟ ใช้ผลิตเซลล์สะสมไฟฟ้าที่มีขนาดเล็กและเบาบาง ใช้ในงานโครงสร้าง ซึ่งห้องหมอดใช้ในรูปของโลหะเจือ เช่นทำกระจำกหินส่วนรดยนต์กระเบ้า ภาชนะบรรจุของ เครื่องยนต์ เพอร์ฟิลเจือ ฯลฯ

2.6 งานวิจัยที่เกี่ยวข้อง

ในปี ค.ศ.1999 Kenji Tajima และคณะ [5] ทำการทดลองเติมสาร MgO ที่มีขนาดอนุภาคระดับนาโนลงในสารประกอบ PZT ได้คีกามาถึงสมบัติเชิงกลและสมบัติเพียโซอิเล็กทริกของเซรามิก PZT ที่เติมอนุภาคเหล่านี้ พบร่วมค่าความแข็งของเซรามิก PZT ที่เติม MgO ในปริมาณ 0.1 vol% ให้ค่าความแข็งของเซรามิก PZT ที่ดีขึ้น เมื่อตรวจสอบโครงสร้างจุลภาคของเซรามิกพบว่าเมื่อเติม MgO ในปริมาณ 0.1 vol% พบร่วมอยหักมีการเปลี่ยนจาก intergranular ไปเป็น intragranular และขนาดเกรนเล็กลงซึ่งเซรามิก PZT มีขนาดเกรนเฉลี่ยประมาณ $8 \mu m$ แต่เมื่อเติมอนุภาคระดับนาโนลงไปพบว่าขนาดเกรนเฉลี่ยมีค่าลดลงเหลือเพียงประมาณ $1 \mu m$ สมบัติเชิงกลและสมบัติเพียโซอิเล็กทริกแสดงค่าที่ดีเมื่อเติมอนุภาคระดับนาโนของ MgO ที่ปริมาณ 0.1 vol%

ในปี ค.ศ. 2006 Praveen Kumar และคณะ [22] ได้ทำการคีกามาผลของรูปรูนต่อสมบัติโดยอิเล็กทริกและโครงสร้างจุลภาคของเซรามิก PZT ที่มีความพรุน ซึ่งในงานวิจัยนี้ใช้เซรามิก PZT เป็นวัสดุหลัก โดยเริ่มจากการนำมาหั่นและบดผสมเป็นเวลา 24 ชั่วโมง โดยใช้เม็ดบล็อกเซอร์ โคเนียม เมื่อได้ผงผสมแล้วนำไปเคลือบในที่อุณหภูมิ $800^{\circ}C$ เป็นเวลา 2 ชั่วโมง นำ

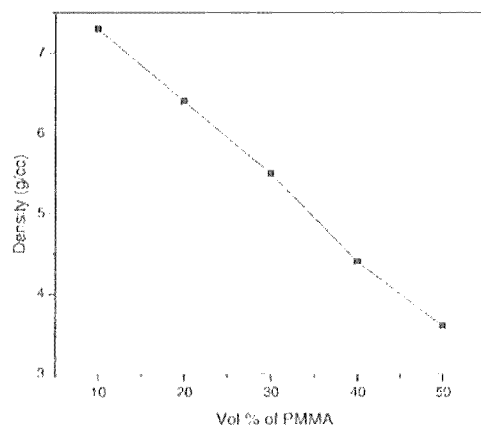
ผง PZT ที่แคลสไซน์แล็วามาพสม polymethyl methacrylate (PMMA) ในปริมาณร้อยละ 10, 20, 30, 40 และ 50 โดยปริมาตร และบดโดยใช้ครกเป็นเวลา 1 ชั่วโมง นำมาอัดขึ้นรูป จากนั้นนำไปเผาที่อุณหภูมิ 500–600 °C เป็นเวลา 10 นาที เพื่อไถ PMMA ออก เผาซินเตอร์ที่อุณหภูมิ 1280 °C เผาเช่นเดียวกัน 1 ชั่วโมง

รูป 2.5 แสดงความหนาแน่นของตัวอย่างกับปริมาณของ PMMA พบร่วมกับความหนาแน่นมีค่าลดลงเมื่อปริมาณ PMMA เพิ่มขึ้น คือการลดความต้านทานเสียง (z) ของวัสดุ เนื่องจากความต้านทานเสียงเป็นผลของการหักเหของคลื่นเสียง (ρ) และความเร็วเสียง (c) ในวัสดุ คือ $z = \rho c$ ในทำนองเดียวกันการเพิ่มขึ้นของความพรุนเป็นการลดความเร็วเสียงในวัสดุ ความหนาแน่นของวัสดุที่ลดลง ความพรุนที่มากขึ้น มีผลต่อสมบัติความเป็นทนทานและสัมประสิทธิ์ไสโตรสแตติกต์ สอดคล้องกับสมการ (4)

$$\text{Porosity (P)} = \left(\frac{1 - \rho}{\rho_0} \right) \times 100 (\%) \quad (4)$$

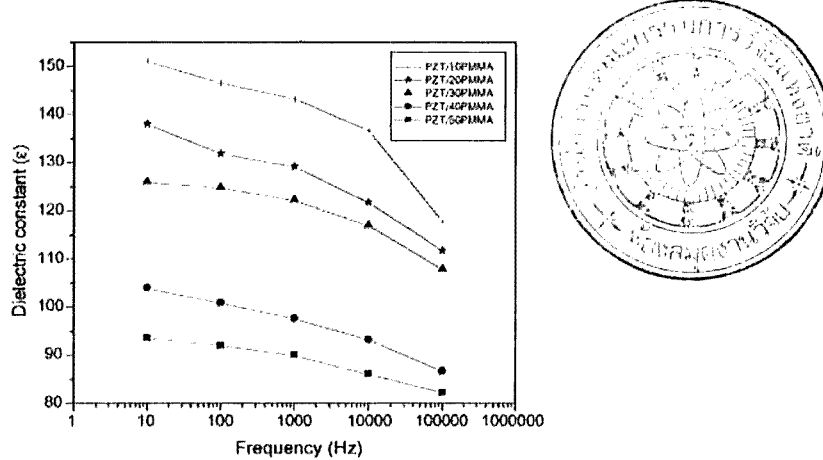
เมื่อ ρ_0 คือ ความหนาแน่นในทฤษฎีของ PZT มีค่าเท่ากับ 7.82 g/cm^3

ρ คือ ความหนาแน่นของเซรามิก PZT ที่มีรูพรุน

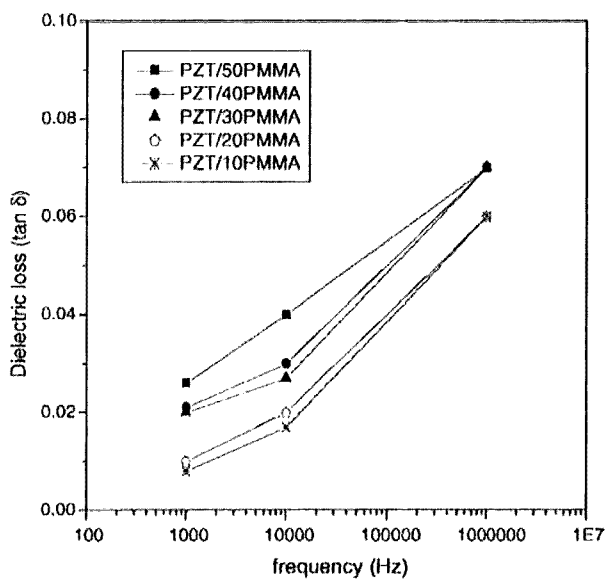


รูป 2.5 ความหนาแน่นของเซรามิก PZT ที่มีรูพรุนเทียบกับปริมาณ PMMA

รูป 2.6 และ 2.7 แสดงค่าคงที่ไดอิเล็กทริกและค่าการสูญเสียทางไดอิเล็กทริกของเซรามิก PZT ที่มีรูพรุน วัดที่ความถี่ต่างกัน พบร่วมกับความถี่เพิ่มขึ้นค่าคงที่ไดอิเล็กทริกลดลง แต่ค่าการสูญเสียทางไดอิเล็กทริกมีค่าเพิ่มขึ้น ที่เป็นเช่นนี้เนื่องจากการที่มีรูพรุนมากในเซรามิก PZT ที่มีความพรุนสูงผลให้มีค่าคงที่ไดอิเล็กทริกที่ต่ำและค่าการสูญเสียทางไดอิเล็กทริกที่สูง [23]

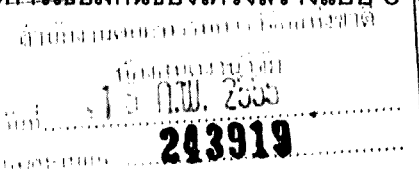


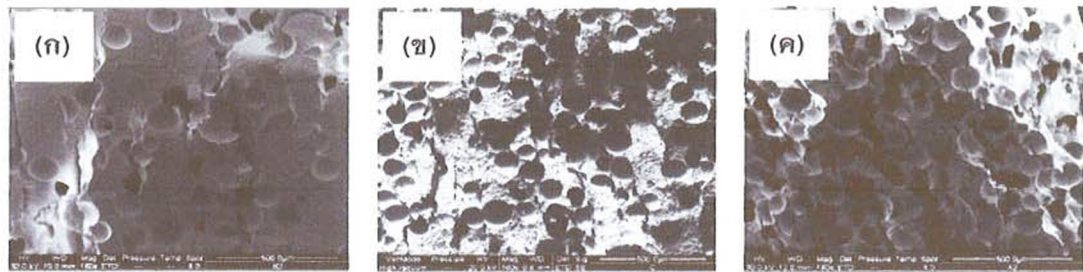
รูป 2.6 ค่าคงที่ไดอิเล็กทริกของเซรามิก PZT ที่มีความพรุนเทียบกับความถี่



รูป 2.7 ค่าการสูญเสียทางไดอิเล็กทริกของเซรามิก PZT ที่มีความพรุนเทียบกับความถี่

รูป 2.8 (ก-ค) แสดงภาพถ่าย SEM ของรอยหักของเซรามิก PZT ที่มีความพรุน ในรูป 2.8 (ก) จะแสดงให้เห็นว่ามีรูพรุนต่ำเป็นเพราะมีการเติม PMMA ในปริมาณที่น้อย (10 vol%) และสิ่งที่ทำให้มีผลทำให้ค่าคงที่ไดอิเล็กทริกสูง ความต้านทานเสียงและค่าการสูญเสียทางไดอิเล็กทริกลดลง ตามลำดับ รูป 2.8 (ข) แสดงการมีรูพรุนในปริมาณปานกลางซึ่งเป็นโครงสร้างในลักษณะเชื่อมกันแบบ 3-3 ในทางตรงกันข้าม ในรูป 2.8 (ค) แสดงการมีรูพรุนที่สูงซึ่งเป็นโครงสร้างการเชื่อมต่อกันแบบ 3-3 ที่ครอบทั่วบริเวณรอยหัก ซึ่งให้ค่าความต้านทานเสียงและค่าคงที่ไดอิเล็กทริกที่สูง และค่าการสูญเสียทางไดอิเล็กทริกที่ต่ำ นอกจากนี้ยังพบว่ารอยหักมีลักษณะตั้งฉากกับพื้นที่ทางแรงดึงดูด สาเหตุน่าจะมาจากการแข็งขัดปืน PZT มากกว่าปืนโพลิเมอร์ PMMA ผลข้างต้นแสดงผลของความพรุนและการเชื่อมกันของโครงสร้างแบบ 3-3

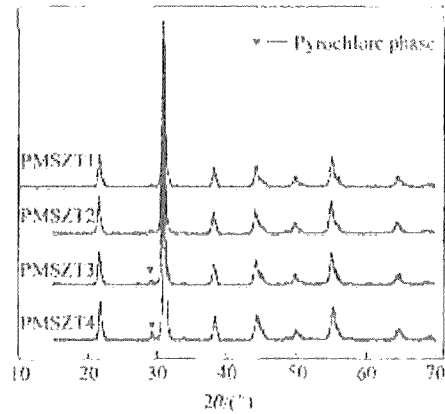




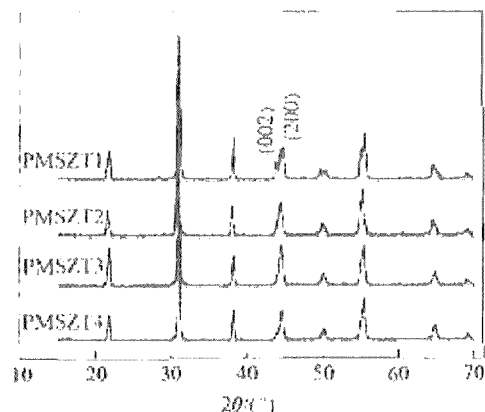
รูป 2.8 ภาพถ่าย SEM บริเวณรอยหักของเซรามิก PZT ที่มีความพรุนต่างกันของ (ก) PZT/10PMMA, (ข) PZT/30PMMA และ (ค) PZT/50PMMA

ในปี ค.ศ. 2006 Du Hong-liang และคณะ [24] ได้ทำการศึกษาถึงอุณหภูมิชินเตอร์ และวัตถุพสมที่มีผลต่อโครงสร้างจุลภาคและสมบัติของเซรามิก PMS-PZT โดยมีสูตรคือ $x\text{Pb}(\text{Mn}_{1/3}\text{Sb}_{2/3})\text{O}_3 - (1-x)\text{Pb}-(\text{Zr}_{1/2}\text{Ti}_{1/2})\text{O}_3$ ซึ่ง $x = 0.06, 0.07, 0.08$ และ 0.09 (เรียกเซรามิกเหล่านี้ว่า PMSZT1, PMSZT2, PMSZT3 และ PMSZT4 ตามลำดับ) ซึ่งถูกเตรียมโดยวิธีการเตรียมเซรามิกแบบดั้งเดิม นำสารตั้งต้น ได้แก่ Pb_3O_4 , ZrO_2 , TiO_2 , MnO_2 และ Sb_2O_3 มาผสานกันแล้วบดผสมเป็นก้อนด้วยเม็ดบดเซอร์โคเนียม เป็นเวลา 12 ชั่วโมง เผาแคลไนซ์ที่อุณหภูมิ 850°C เป็นเวลา 2 ชั่วโมง นำไปอัดขึ้นรูปและเผาชินเตอร์ที่อุณหภูมิต่างกัน (ตั้งแต่ 1100 – 1300°C) เป็นเวลา 2 ชั่วโมง

เมื่อตรวจสอบโครงสร้างเฟสของพงเซรามิก PMS-PZT ด้วยเทคนิคการเลือยงเบนของรังสีเอกซ์พบว่า เมื่อปริมาณการเติม PMS น้อยกว่า 0.08 มอล โครงสร้างเฟสเป็นเพอร์อฟส์ไกเดอร์บิสุทธิ์เท่านั้นไม่พบโครงสร้างของไพรคลอร์ แต่เมื่อปริมาณ PMS มากกว่า 0.8 มอล พ樊เฟสของโครงสร้างไพรคลอร์เกิดขึ้น ซึ่งจะพบมากขึ้นเมื่อปริมาณ PMS มากขึ้น ที่เป็นเช่นนี้ เพราะว่า PMS ไม่สามารถแยกออกเป็นเฟสเดี่ยวได้ [25] ดังรูป 2.9 จากการตรวจสอบโครงสร้างเฟสของเซรามิก PMS-PZT ที่เผาชินเตอร์ที่อุณหภูมิ 1250°C (รูป 2.10) พบว่า โครงสร้างเฟสของเซรามิกทั้งหมดเป็นเพอร์อฟส์ไกเดอร์บิสุทธิ์ ซึ่งจะเห็นว่าการที่อุณหภูมิชินเตอร์เพิ่มขึ้นทำให้เฟสของไพรคลอร์หายไป นอกจากนี้จะเห็นว่าจะมีการแยกพีคที่ตำแหน่ง (200) และเริ่มเป็นพีคเดี่ยวเมื่อปริมาณ PMS มากขึ้น ซึ่งจะบอกให้รู้ถึงเฟสเตตระgonอลและเฟสrom โบสิครอล โดยการวิเคราะห์โดยพีค (002) และ (200) ในช่วง 2θ มีค่า 45° การแยกของพีค (002) และ (200) ซึ่งให้เห็นถึงว่า PMS-PZT เป็นเฟริโอเล็กทริกเตตระgonอล (F_T) ในขณะที่ถ้าเป็นเฟสเดี่ยวพีค (200) แสดงเฟสเป็นเฟริโอ อิเล็กทริกرومโบสิครอล (F_R) [26, 27] ดังนั้นเฟสของเซรามิก PMS-PZT เปลี่ยนจากเฟสเตตระgonอลไปเป็นเฟสrom โบสิครอลเมื่อปริมาณ PMS เพิ่มขึ้น

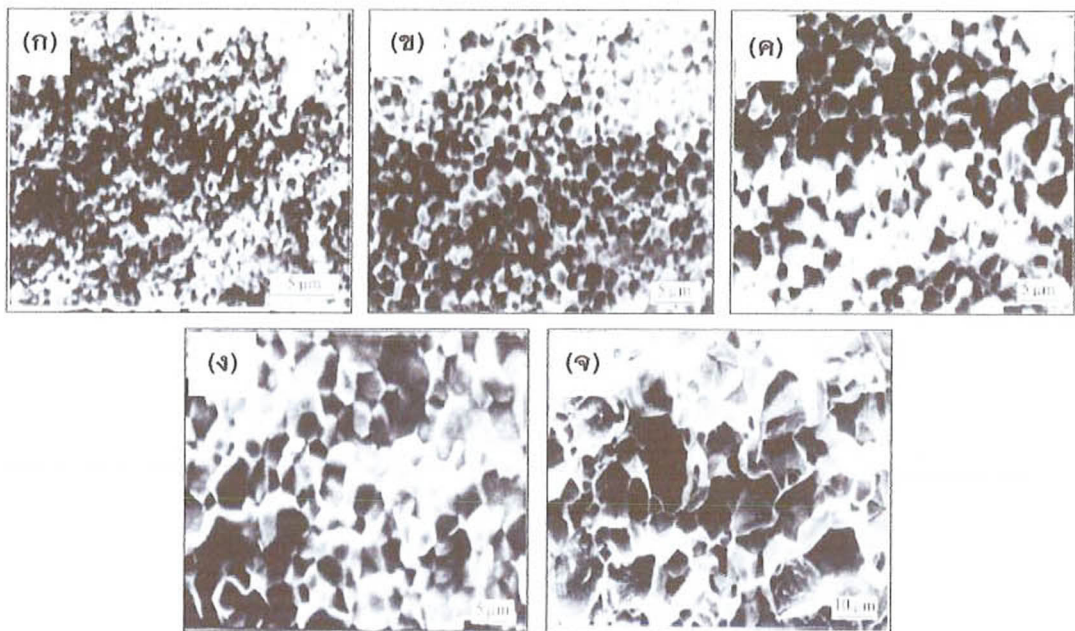


รูป 2.9 รูปแบบการเลือดยานของรังสีเอ็กซ์ของพลาสติก PMS-PZT ที่ผ่านการเผาแคลไซซ์ที่อุณหภูมิ 850°C เป็นเวลา 2 ชั่วโมง

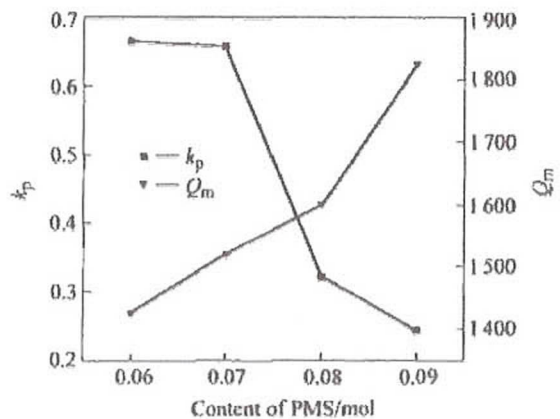


รูป 2.10 รูปแบบการเลือดยานของรังสีเอ็กซ์ของเซรามิก PMS-PZT ที่ผ่านการเผาชินเตอร์ที่อุณหภูมิ 1250°C เป็นเวลา 2 ชั่วโมง

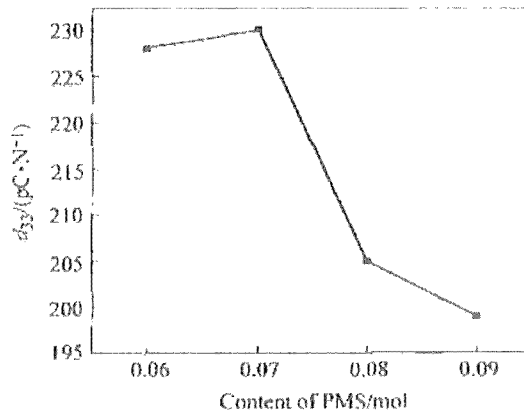
จากการศึกษาโครงสร้างจุลภาคพบว่าขนาดเกรนมีขนาดและลักษณะการเชื่อมต่อ กันเพิ่มขึ้นเมื่ออุณหภูมิชินเตอร์สูงในเซรามิก PMSZT2 จากรูป 2.11 (ง) ลักษณะของเกรนเป็นเนื้อเดียวกันและไม่มีรูพรุน สามารถหาขนาดเกรนและถี่ได้ประมาณ $3.4 \mu\text{m}$ และยังพบว่าถ้าหาก อุณหภูมิในการเผาชินเตอร์ที่มากกว่า 1250°C ลักษณะเกรนจะไม่เป็นเนื้อเดียวกัน เพราะ ลักษณะของเกรนที่ใหญ่มากกว่าปกติ ดังรูป 2.11 (ๆ)



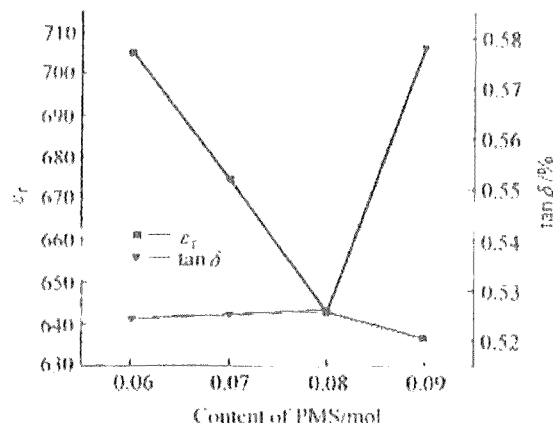
รูป 2.11 ภาพถ่าย SEM บริเวณรอยหักของเซรามิก PMSZT2 ที่แปรค่าอุณหภูมิในการเผาซินเตอร์
 (ก) 1100°C , (ข) 1150°C , (ค) 1200°C , (ດ) 1250°C และ (ຈ) 1300°C



รูป 2.12 ค่า K_p และ Q_m เทียบกับปริมาณการเติม PMS ของเซรามิก PMS-PZT



รูป 2.13 ค่า d_{33} เทียบกับปริมาณการเติม PMS ของเซรามิก PMS-PZT

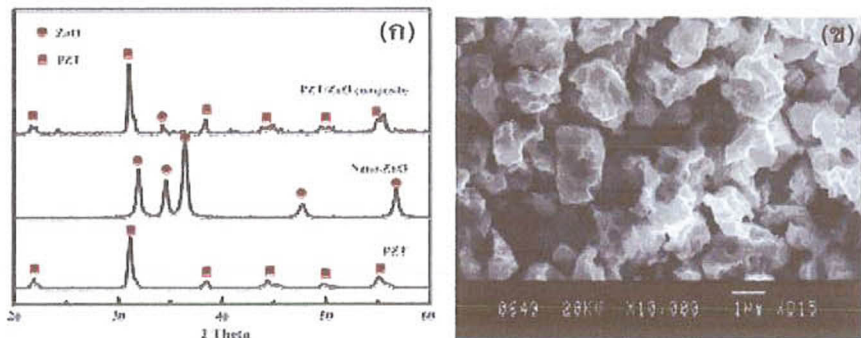


รูป 2.14 ค่า ϵ_r และ $\tan \delta$ เทียบกับปริมาณการเติม PMS ของเซรามิก PMS-PZT

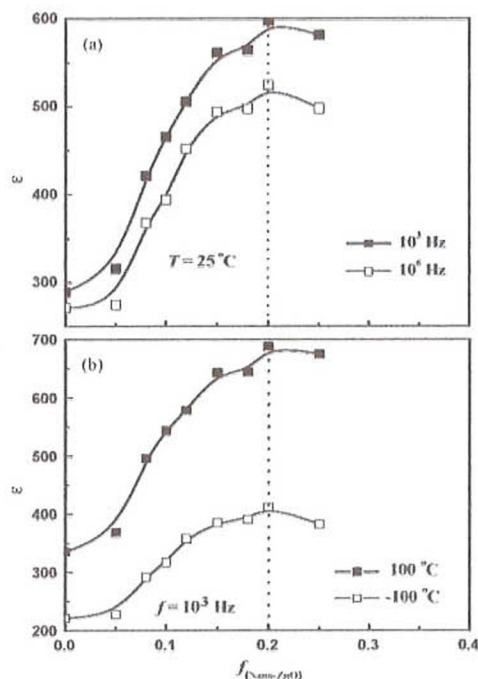
จากรูป 2.12 และ 2.13 จะเห็นว่าค่า K_p และ d_{33} มีค่าลดลงเมื่อปริมาณการเติม PMS มากขึ้นแต่ในขณะที่ค่า Q_m มีค่าเพิ่มขึ้นเมื่อปริมาณ PMS มากขึ้นด้วยเช่นกัน จากนั้นทำการวัดค่าคงที่โดยเล็กทริกและค่าการสูญเสียทางโดยเล็กทริก ณ อุณหภูมิห้อง พบร่วมกันว่าเมื่อเติมปริมาณ PMS มากขึ้นค่าคงที่โดยเล็กทริกนั้นลดลงแต่ค่าการสูญเสียทางโดยเล็กทริกมีค่าเพิ่มขึ้น ดังรูป 2.14

ในปี ค.ศ. 2008 Zhi-Min Dang และคณะ [28] ได้ทำการศึกษาถึงการเพิ่มประสิทธิภาพของสภาพยอมสมพาร์ทของโดยเล็กทริกในเซรามิก ZnO/PZT เมทริกซ์ nano-composite ถูกเตรียมด้วยวิธีการเติมเซรามิกแบบดั้งเดิม เมื่อตรวจสอบโครงสร้างเฟล็กซ์ของ PZT/ZnO ที่เติม $ZnO = 20 \text{ vol\%}$ มีเฟล็กซ์ของ PZT และเฟล็กซ์ของ ZnO ในระดับ nano แสดงในรูป 2.15 (ก) และแสดงลักษณะของรูปร่างหัวไปพบว่ามีรูพรุนเกิดขึ้นเนื่องจากการกัดด้วยกรด HF นอกจากนี้ยังสามารถเห็นอนุภาค PZT ที่มาก ซึ่งเป็นกระบวนการพัฒนาเป็นผลึกของเซรามิก

PZT ดังรูป 2.15 (ข) ศึกษาสภาพของสัมพัทธ์ทางไดอิเล็กทริก พบว่าสภาพของสัมพัทธ์ทางไดอิเล็กทริกของเซรามิกนี้มีค่าเพิ่มขึ้นเมื่อเติม ZnO ระดับนาโนที่มากขึ้นจะเห็นได้ชัดจากรูป 2.16 (ก-ข)



รูป 2.15 (ก) รูปแบบการเสี้ยวเบนของรังสีเอ็กซ์ของผง PZT บริสุทธิ์ ผง ZnO ในระดับนาโน และผงPZT/ZnO (ข) ภาพถ่าย SEM ของเซรามิก ZnO/PZT เมื่อเติม ZnO ระดับนาโนในปริมาณ 20 vol%



รูป 2.16 ค่าสภาพของสัมพัทธ์ของไดอิเล็กทริก ϵ เทียบกับปริมาณการเติม ZnO ระดับนาโนของเซรามิก ZnO/PZT คอมโพลิต (a) ที่ความถี่ 10^3 และ 10^6 Hz (25°C) และ (b) ที่ -100 และ 10°C (10^3 Hz)